



دانشگاه آزاد اسلامی واحد اهر  
فصلنامه‌ی علمی-پژوهشی فضای جغرافیایی

سال هجدهم، شماره‌ی ۶۳  
پاییز ۱۳۹۷، صفحات ۱۸۰-۱۶۵

\*علی جهانفر<sup>۱</sup>  
شهرام بهرامی<sup>۲</sup>  
محمد علی زنگنه اسدی<sup>۳</sup>

## تحلیل مورفومتری و مورفولوژی اووالا در توده آهکی پراو - بیستون

تاریخ پذیرش: ۱۳۹۵/۱۲/۲۴

تاریخ دریافت: ۱۳۹۵/۰۴/۲۵

### چکیده

بررسی اووالا، به عنوان یکی از نمونه‌های تپیک اشکال کارستی، دارای اهمیت زیادی در مدیریت محیط است. در تحقیق حاضر، به تحلیل مورفومتری اووالا و شناخت این لندفرم سطحی کارست پرداخته شده است. در محدوده پراو-بیستون به سبب وجود شرایط مساعد، کلکسیون‌های اشکال متنوع کارستی شکل گرفته‌اند. در این تحقیق با استفاده از مطالعات میدانی، نقشه‌های توپوگرافی، مدل رقومی ارتفاع و روش‌های کمی و آماری ۲۳ اووالا در محدوده پراو-بیستون شناسایی و سپس پارامترهای مورفومتری آن‌ها شامل محیط، مساحت، عمق، حجم، جهت‌گیری اصلی، نسبت کشیدگی، سینوسیته، نسبت سطح مقطع و شاخص پیتینگ (حفره بودن) محاسبه شد. دو روش کلی برای مطالعه اووالا، شامل استفاده از منحنی میزان و خط تقسیم توپوگرافی وجود دارد که روش دوم اعتبار بیشتری دارد. نتایج پژوهش و تحلیل آماری نشان می‌دهد که ۸۶ درصد جهت‌گیری اووالاها، از روند کلی گسل‌ها در منطقه تبعیت می‌کند. برخلاف شکل پولزه بستر تمام اووالاها حفره و رسوب‌گذاری ناچیز است. ۹۵

E-mail: aalijahanfar54@yahoo.com

\*۱- دانش‌آموخته دکتری ژئومورفولوژی دانشگاه حکیم سبزواری. (نویسنده مسئول).

۲- گروه ژئومورفولوژی، دانشکده علوم زمین، دانشگاه شهید بهشتی.

۳- گروه ژئومورفولوژی، دانشکده جغرافیا و علوم محیطی، دانشگاه حکیم سبزواری.

درصد اووالاها در آهک بیستون قرار گرفته و شیب ۹۲ درصد از آنها بین ۰ تا ۵ درصد است. بررسی این تحقیق نشان می‌دهد که تمامی اووالاهای مورد مطالعه در ارتفاع بالاتر از ۲۰۰۰ متر شکل گرفته‌اند.

**کلید واژه‌ها:** اووالا، اشکال سطحی کارست، مورفومتری، بیستون-پراو.

#### مقدمه

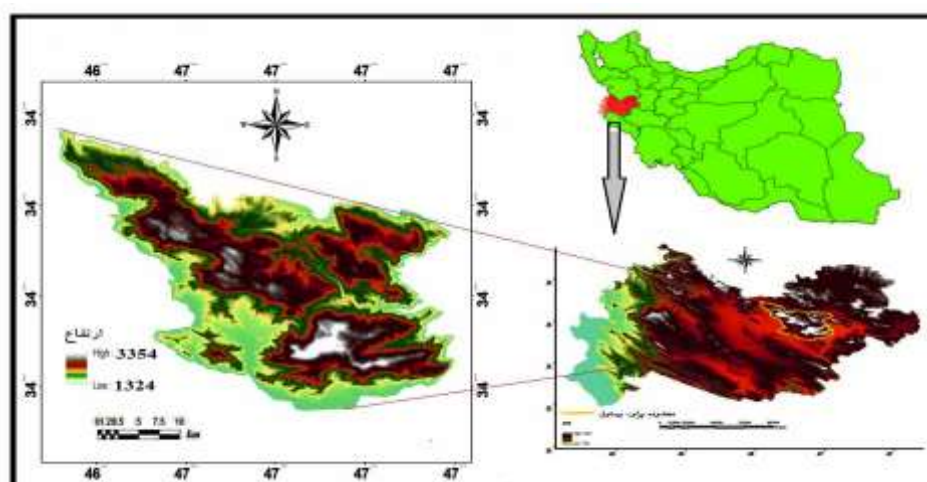
یکی از نمونه‌های تیبیک اشکال کارستی در توده آهکی پراو-بیستون در زاگرس، چاله‌های کارستی است که در اصطلاح ژئومورفولوژی اووالا نام دارند. بررسی مقالات علمی در ارتباط با کارست و ژئومورفولوژی نشان می‌دهد که تحقیقات کارست، بیش تر در قلمرو هیدرولوژی، رسوب، ژئوشیمی، غارشناسی انجام شده است و تحقیقات محدودی روی مطالعه لندفرم‌های سطحی کارست متمرکز شده‌اند (Sauro, 2013: 5). اشکال سطحی کارست مشخص‌ترین چشم‌انداز مناطق کارستی هستند. در منابع متعددی از مطالعات کارست در اروپا مهم‌ترین چاله‌های سطحی کارست، به ترتیب وسعت عبارتند از دولین، اووالا و پولزه یا پولیه (Trimmel, 1965؛ Sweeting, 1972؛ Gams, 1973؛ Cvijic, 1983؛ Goudie et al, 1994؛ Pulina, 1999؛ Salomon, 2000). در مقایسه با انواع دیگر چاله کارستی مانند دولین‌ها و پولزه‌ها که به‌طور منظم و مداوم در مطالعات کارست سطحی مورد تحقیق قرار گرفته‌اند، پژوهش در مورد اووالا یا صورت نگرفته و یا به شکل مبهم به آن پرداخته شده است (Calic, 2011: 32). جایی که تعداد زیادی دولین در دره‌های خشک، یا خوشه‌ای از دولین‌ها در یک راستا در سطح فلات محصور در خشکی شکل گرفته باشند، تشکیل چاله‌ای وسیع‌تری به نام اووالا می‌دهند. این چاله‌ها منجر به افزایش نفوذپذیری و هدایت هیدرولیکی در منطقه وادوز می‌شوند (Ford & Williams, 2007: 346). یکی از مشکلات در ارتباط با تعاریف درست از چاله‌های کارستی، تفکیک و تقسیم‌بندی چاله‌ها بر اساس اندازه است و نه بر اساس ویژگی‌های زمین‌شناسی، ژئومورفولوژی و هیدرولوژی (Frelih, 2003: 106). بر این اساس، دولین لندفرم و چاله کارستی دایره‌ای شکل است، به قطر چند متر تا حدود یک کیلومتر (Ford & Williams, 2007: 339) و در تعریف، پولزه عبارت است از چاله بزرگ کارستی، با کف هموار و پوشیده از رسوبات نرم که در آن، سطح پیژومتریکی نزدیک به سطح زمین است، در حالی که اووالا شکلی از چاله کارستی، قلمداد می‌شود که از نظر اندازه و وسعت بزرگ‌تر از دولین (ترکیبی از چند دولین) و کوچک‌تر از پولزه است. در تعریف پولزه و تفکیک آن از اووالا نمی‌توان تنها به یک یا دو معیار بسنده کرد و استفاده از چند معیار لازم است. مهم‌ترین این معیارها عبارتند از: ۱- توپوگرافی ۲- شرایط ساختاری، یعنی تاثیر شکستگی و گسل، تاقدیس و ناودیس ۳- تکتونیک فعال و توسعه شبکه هیدرولوژی ۴- میراث مورفوکلیماتیک ۵- هیدرولوژی حال حاضر و شرایط شبکه‌ها، انشعابات و شرایط پیژومتری در پولزه ۶- اشکال و ویژگی ژئومورفولوژی (Nicod, 2003: 32). در تشخیص اووالا از پولزه، اغلب اووالا را ترکیبی از چند دولین می‌دانند (Sweeting, 1972؛ Trimmel, 1965؛ Fairbridge, 1968) و گاهی اووالا را مترادف با چاله‌های ترکیبی یا چاله‌های دره‌ای و دره‌ی کور تعریف کرده‌اند (White, 1988). برای سالیان متمادی از واژه اووالا به اشتباه در

توضیح و توصیف برخی از اشکال کارستی استفاده شد است. در تحقیقات اخیر تلاش گردیده است با کمک گرفتن از عوامل مختلف که در فرآیند توسعه کارست شرکت دارند، مانند عوامل توپوگرافی، سنگ‌شناسی و تک‌تکتونیک فعال، فرآیندهای هیدرولوژیکی، فعالیت‌های زیست‌محیطی و عوامل ژئومورفولوژیک تاثیر گذار مانند فرآیند هوازدگی، شکل‌گیری و توسعه اووالا به‌عنوان یک چاله در کارست سطحی از دیگر اشکال سطحی کارست مانند دولین و پولزه باز شناخته شود (Calic, 2011: 32). در سال‌های اخیر استفاده از سیستم اطلاعات جغرافیایی در مطالعه مورفولوژی سطحی کارست، به خصوص در مورفومتری کارست سطحی مورد توجه قرار گرفته است (Angel et al (2013), Iguzquiza (2014), Valois et al (2014), Telbisz et al (2009), Denizman (2003), Zhu et al (2014), Servati (2014)). در مطالعات متعدد در تحلیل مورفومتری چاله‌های در استخراج پارامترهای کمی چاله‌ها، کاربرد مدل رقومی ارتفاع با دقت بالا DEM و همچنین تصاویر LIDAR ابزارهای کارآمدی محسوب می‌شوند. از دیگر روش‌های مطالعه چاله‌های کارستی روش‌های کمی - آماری است که هم در اندازه‌گیری پارامترهای کمی و هم تعیین همبستگی بین عوامل موثر در مورفومتری چاله‌ها کاربرد دارد. (Rezaei moghadam et al (2010 & 2011)). در تحقیق حاضر تلاش شده است با کمک گرفتن از پارامترهای توپوگرافی، DEM و روش‌های کمی، ضمن شناسایی انواع چاله‌های سطحی کارست در محدوده پراو- بیستون و تفکیک این اشکال، اووالا به‌عنوان یکی از اشکال تیپیک در کارست سطحی، در ناحیه مورد مطالعه شناسایی شود.

#### موقعیت جغرافیایی محدوده مورد مطالعه

محدوده مورد مطالعه در غرب ایران و در استان کرمانشاه واقع است. توده پراو-بیستون در واحد زاگرس شکسته، با مساحت ۱۰۵۰ کیلومتر مربع و در موقعیت  $34^{\circ} 21'$  تا  $34^{\circ} 44'$  عرض شمالی و  $46^{\circ} 53'$  تا  $47^{\circ} 27'$  طول شرقی واقع است (شکل ۱). بیشینه ارتفاع در توده پراو-بیستون ۳۴۴۰ متر است. با توجه به تاریخچه زمین‌شناسی در دوره ژوراسیک شرایط رسوب‌گذاری ثابتی در زاگرس به‌وجود آمده است و بر روی فلات قاره و پلات فرم کربناته داخلی، رسوب‌های کم عمق آهکی ته‌نشین شده است (آهک بیستون) و همچنین در حوضه‌های عمیق چرت و رادیولاریت انباشته شده است. این ویژگی به‌خوبی در حوضه‌های مجاور توده بیستون و پراو در کرمانشاه دیده می‌شود. از لحاظ ظاهری توده پراو-بیستون به‌صورت توده‌ای کوهستانی با ساختمان پیچیده، خشن و خرد شده شکل یافته و اثری از سیستم ژورا گونه و حالت تاقدیسی-ناودیسی مانند زاگرس چین‌خورده در آن نیست. خلوص بالای آهک بیستون، ضخامت سازند کربناته، عملکرد شدید تکتونیک، امتداد و گسترده‌گی درزه و شکاف‌ها و تاثیر گسل اصلی زاگرس، کلکسیون از اشکال کارستی مانند لایپه، چاله‌ها (دولین، اووالا و پولزه)، غار، چشمه‌های کارستی و دیگر اشکال را در توده پراو-بیستون شکل داده است. از عوامل مهم در توسعه کارست در این منطقه می‌توان به عامل تکتونیک اشاره کرد. سطوح ضعیفی که در کارستی شدن سنگ آهک نقش اصلی را دارند وجود شکستگی‌های متعدد است. در نمودار گل سرخی (شکل ۵) اکثر شکستگی‌ها دارای امتداد NE-SW (در راستای نیروی ماکزیمم وارده بر زون زاگرس توسط پلیت عربی) هستند و بخشی از شکستگی‌ها که در جهت عمود بر

شکستگی‌های با امتداد NE-SW هستند، احتمالاً تحت تأثیر گسل بیستون تشکیل شده‌اند. از دیگر سطوح می‌توان به لایه‌بندی با امتداد و شیب N40W اشاره کرد. در واقع عامل اصلی کنترل کننده تشکیل کارست در محدوده مورد مطالعه، شکستگی‌ها است.

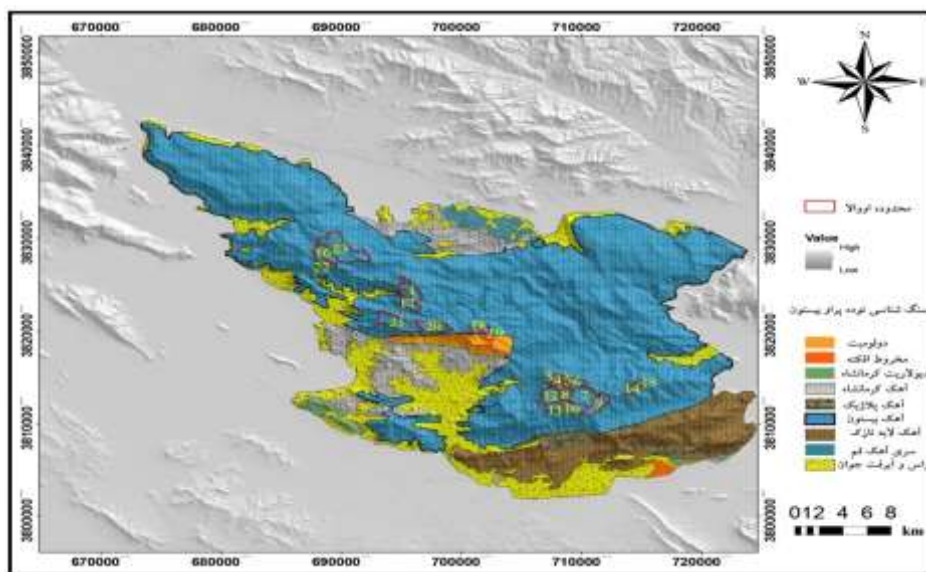


شکل ۱: موقعیت محدوده مورد مطالعه در استان کرمانشاه

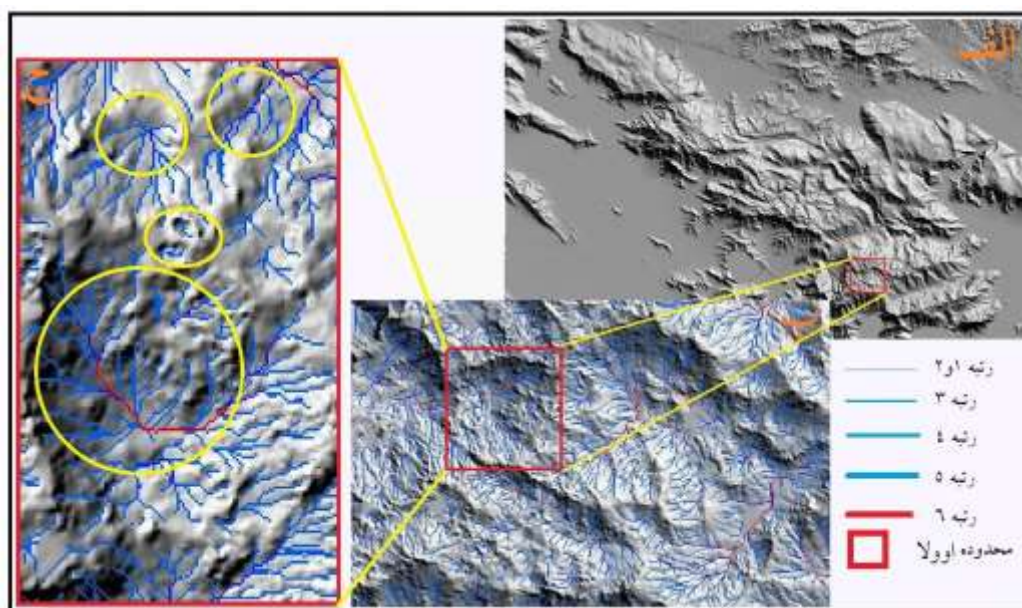
یکی از مهم‌ترین شواهد توسعه کارست وجود چاله‌ها است، اساساً چاله‌ها اعم از دولین، اووالا و پولزه نماد نواحی کارستی هستند و وجود و وسعت آن‌ها بیانگر گسترش کارست کامل در یک ناحیه است.

### مواد و روش‌ها

در تحقیق حاضر علاوه بر بررسی کتابخانه‌ای، با مطالعه تصاویر هوایی و ماهواره‌ای از محدوده و استفاده از نرم‌افزار Google Earth محدوده و موقعیت تعداد ۲۳ اووالا (شکل ۲)، در توده پراو - بیستون تعیین شد. همچنین با استفاده از نقشه‌های توپوگرافی ۱:۲۵۰۰۰ و نقشه زمین‌شناسی ۱:۱۰۰۰۰۰ و ویژگی‌های زمین ساختاری و لیتولوژی این اووالاها بررسی شد. در ادامه با کار میدانی نسبت به برداشت بخشی از پارامترهای کمی اووالا مانند طول، عرض، عمق، محیط و جهت‌گیری کلی اقدام شد. به منظور استخراج ویژگی‌های مورفومتری اووالا، تفکیک و شناسایی اووالا از دیگر اشکال سطحی کارست در محدوده‌ی مورد مطالعه از لایه رقومی ارتفاعی (DEM) با دقت ۱۰ متر استفاده شد. مدل ارتفاعی رقومی (DEM) از ابزارهای مهم در مطالعه ناهمواری‌های سطح زمین است. در نرم‌افزار Arc Gis با استفاده از مدل ارتفاعی رقومی در منوی Arc Toolbox و در Extension, Spatial Analyst Tools از منوی Surface گزینه Hillshade مدل سایه روشن تهیه شد، در این مدل خطوط شکستگی، چاله‌ها و سایر عوارض تا حد زیادی قابل تشخیص هستند. با هدف شناسایی اووالا به کمک شبکه آبراهه از روش Fill Sink در محیط نرم‌افزار Arc Gis و Arc Hydro Tools Extension استفاده شد (شکل ۳).



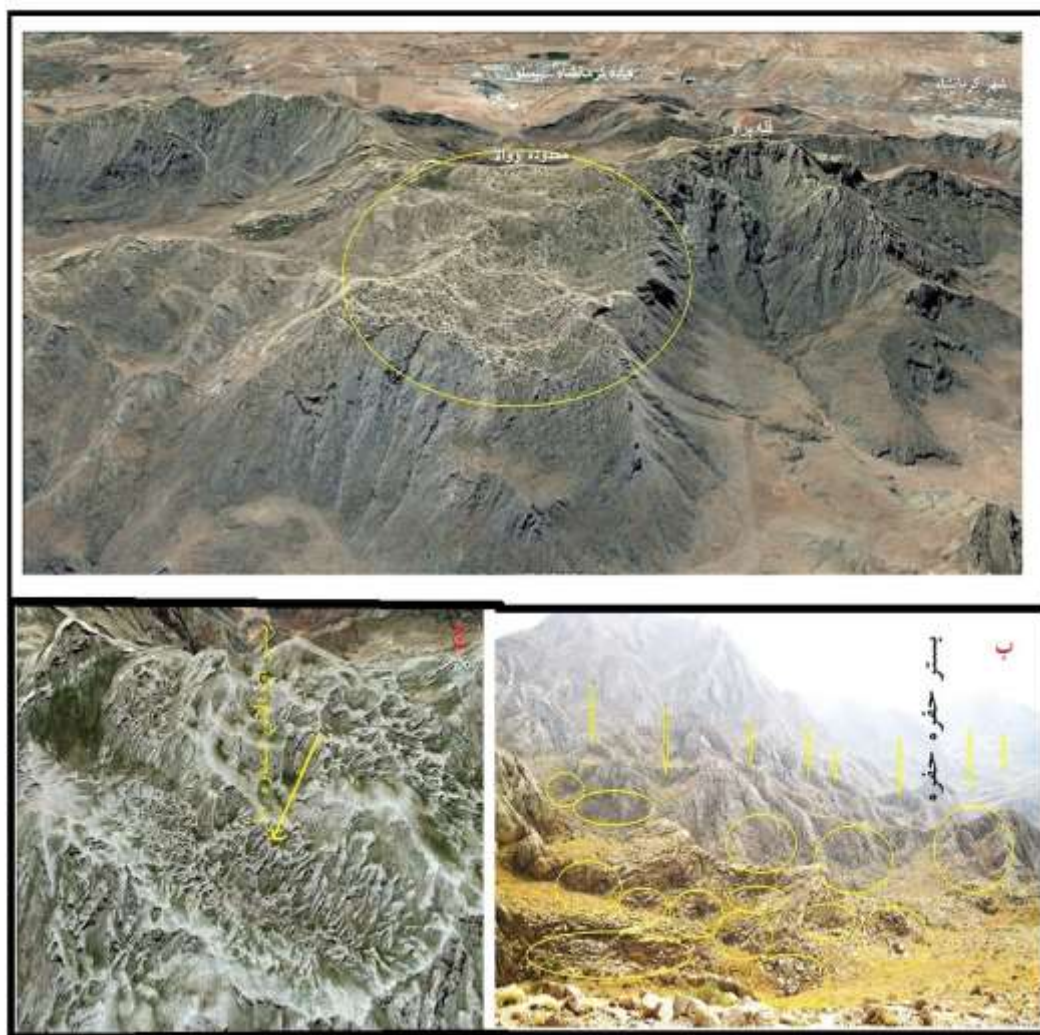
شکل ۲: نقشه زمین‌شناسی محدوده پراو-بیستون و موقعیت ۲۳ اووالی شناسایی شده



شکل ۳: الف) مدل Hillshade از محدوده پراو بیستون، ب و ج) شناسایی محدوده اووالا با استفاده از روش Fill sink و الگوی استقرار شبکه هیدرولوژی (درون‌زا) در اووالا

برای تجزیه و تحلیل مورفومتری و انتخاب پارامترهای دقیق، از کار (Calic, 2011) به عنوان مرجع استفاده شد. دو روش کلی برای تشخیص اووالا و تفکیک آن‌ها در این تحقیق استفاده شده است: ۱- تعیین محدوده اووالا با استفاده از منحنی میزان و تعیین بالاترین منحنی میزان به عنوان مرز و محدوده اووالا ۲- استفاده از خط تقسیم توپوگرافی (اتصال بلندترین نقاط) در محدوده اووالا (جدول ۱). این روش‌ها علی‌رغم محدودیت و معایب، از عملی‌ترین روش‌ها به منظور تفکیک و باز شناخت اووالا روش‌های فوق هستند. از روش آماری همبستگی به منظور یافتن رابطه

بین پارامترهای کمی اووالاها و رگرسیون خطی ساده جهت شناسایی مهم‌ترین متغیرهای موثر در شکل‌گیری و توسعه اووالا در پراو-بیستون استفاده شد. پس از اندازه‌گیری پارامترهای اصلی در ۲۳ اووالا که در توده پراو بیستون شناسایی شده‌اند (شکل ۲)، از اووالاها در ۳ مرحله بازدید میدانی شد و برخی از ویژگی‌های آن‌ها برداشت شد (شکل ۴). به منظور محاسبه حجم اووالا از نرم‌افزار Arc Gis کمک گرفته شد. برای محاسبه حجم اووالا در این نرم‌افزار ابتدا محدوده هر اووالا با استفاده از بالاترین منحنی میزان مشخص شد. سپس به کمک منوی 3D Analyst Tools و گزینه Functional Surface که برای محاسبه حجم اشکال نامنظم، در لایه‌های رستری کاربرد دارد و نیز تابع Surface Volume حجم ۲۳ اووالای مورد مطالعه محاسبه شد. یکی از شاخص‌های مورد توجه در مورفومتری، تعیین جهت حداکثر کشیدگی در هر یک از اووالاها می‌باشد. در مطالعه میدانی جهت کشیدگی هر یک از اووالاها تعیین شد.



شکل ۴: الف) موقعیت کلی تعدادی اووالا در شمال شهر کرمانشاه و قله اصلی پراو ب) بستر حفره اووالا ج) اووالای شماره ۱۰

جدول ۱- دو روش برای تعیین محدوده اووالا به نقل از (Calic 2011)

| خط تقسیم توپوگرافی (Pd)   | بالاترین منحنی میزان بسته (Pc)   |
|---|--|
| معایب: میزان مقادیر محاسبه شده بیش از اندازه واقعی اندازه تصویر از میزان واقعی آنچه نمایش می دهد کوچک تر است. محدودیت: به دلیل انطباق کم تر محدوده انتخابی با مورفولوژی مزایا: انطباق زیاد و کمک به درک کلی از یک چاله. | معایب: معمولا طول، نسبت به اندازه واقعی کوچک تر است. محدودیت: تاثیر بیش تر فرسایش آبی در اندازه چاله مزایا: می توان به درستی و کاملا عینی، محدوده توسعه چاله در کارست را ترسیم نمود. |

جدول ۲- پارامترهای اندازه گیری شده اووالا

| توضیحات  | پارامترها   |
|--|---|
| محیط Pc: محاسبه محیط بالاترین منحنی میزان، Pd: محیط خط تقسیم آب<br>مساحت Ac: مساحت بالاترین منحنی میزان، Ad: مساحت خط تقسیم آب<br>بزرگ ترین قطر: طولانی ترین خط اتصال دو نقطه در منحنی میزان و خط تقسیم توپوگرافی<br>کوچک ترین قطر: کوتاه ترین اتصال دو نقطه در منحنی میزان و خط تقسیم توپوگرافی<br>آزیموت یا جهت حداکثر کشیدگی صرفا در خط تقسیم توپوگرافی<br>حجم، اووالا در محدوده پایین تر از بالاترین منحنی میزان<br>عمیق ترین نقطه، در کف اووالا (متر از سطح دریا)<br>ارتفاع بالاترین نقطه در خط تقسیم توپوگرافی (متر از سطح دریا) | Pc Pd<br>Ac, Ad<br>DMAXc DMAXd<br>DMNRc, DMNRd<br>DDIRd<br>V<br>Emin<br>Emaxd |

با هدف محاسبه برخی پارامترهای از روابط کمی که توسط (Calic 2011) در مطالعه اووالا در رشته کوه کارپات در مرکز و شرق اروپا پیشنهاد شده اند، استفاده شد.

$$HUV = Ec - Emin$$

رابطه (۱) عمق اووالا

در این رابطه HUV عمق اووالا و Ec و Emin همان طور که در (جدول ۲) آمده است به ترتیب ارتفاع بالاترین منحنی میزان و عمیق ترین نقطه کف اووالا است.

$$HBAS = Emaxd - Emin$$

رابطه (۲) عمق حوضه

در این رابطه HBAS عمق اووالا با توجه به خط تقسیم توپوگرافی، Emaxd حداکثر ارتفاع در خط تقسیم توپوگرافی، Emin عمیق ترین نقطه کف اووالا است.

رابطه (۳) نسبت بین محیط اووالا و محیط دایره معادل

$$ISINc,d = (Pc,d / CEQUc,d)$$

برای محاسبه این شاخص محیط‌های محاسبه شده  $Pc, d$  بر محیط دایره هم ارز و معادل اووالا  $CEQUc, d$  تقسیم شده است. مقادیر این شاخص اگر به عدد ۱ نزدیک باشد شکل اووالا به دایره نزدیک و هرچه کم‌تر یا بیش‌تر از عدد یک باشد از حالت دایره خارج می‌شود. این شاخص بیان‌گر تاثیر عامل تکتونیک در تشکیل اووالا است.

رابطه (۴) میانگین قطر

$$DAVEc,DAVEd = (DMAXc,d + DMINRc,d/2)$$

$DAVEc, DAVEd$  مقادیر متوسط قطر اووالا و عبارتست از مجموع قطر کوچک و بزرگ تقسیم بر ۲. این شاخص گرچه به شکل مستقیم کاربرد چندانی در توضیح وضعیت اووالا ندارد اما به واسطه کاربرد آن در محاسبه نسبت سطح مقطع اووالا و پارامترهای کمی دیگر، باید محاسبه شود.

رابطه (۵) نسبت سطح مقطع اووالا

$$RH/Dd, Dc = (HUV/DAVEc, HBAS/DAVEd)$$

این شاخص نسبت عمق اووالا ( $HUV, HBAS$ ) را به متوسط قطر اووالا ( $DAVEc, d$ ) را در هر دو روش نشان می‌دهد. این شاخص در تعیین نفوذپذیری و ویژگی‌های هیدرولوژی اهمیت دارد.

رابطه (۶) نسبت کشیدگی اووالا

$$ELONGc,d = (DMAXc,d/DMINRc,d)$$

از شاخص‌های مهم در تعیین تاثیر تکتونیک بر شکل‌گیری اووالا شاخص نسبت کشیدگی است. شاخص پیتینگ (شاخص حفره‌دار بودن) بستر اووالا از رابطه (۷) محاسبه شد.

رابطه (۷) شاخص پیتینگ

$$IPIT = KARE/\sum ADOL$$

در این رابطه،  $IPIT$  شاخص پیتینگ،  $KARE$  مساحت کل اووالا که در محدوده مورد مطالعه همان  $Ad$  در نظر گرفته شد و  $\sum ADOL$  مجموع مساحت دولین‌های کف اووالا می‌باشد. نتایج استفاده از روابط فوق و نیز اندازه‌گیری پارامترهای کمی در توده بیستون-پراو در (جداول ۳ و ۴) ارائه شده است. از تحلیل آماری و رگرسیون به‌منظور محاسبه ضریب تعیین و معادله خط در رابطه با پارامترها کمک گرفته شد (شکل ۶).



جدول ۳- پارامترهای کمی اووالا مورد مطالعه (N: شماره اووالا، Ac و Ad: مساحت اووالا، Pd و Pc: محیط اووالا، V: حجم اووالا، Emin: ارتفاع عمیق‌ترین نقطه در کف اووالا، Ec: ارتفاع بالاترین منحنی میزان، HUV: عمق اووالا، Emaxd: ارتفاع بالاترین نقطه در خط تقسیم توپوگرافی، HBAS: عمق حوضه

| DDIR | DAVE<br>d | DAVE<br>c | HBAS<br>(m) | Emaxd<br>(m) | HUV<br>(m) | Ec (m) | Emin<br>(m) | V<br>(Mm <sup>3</sup> ) | Pc<br>km | Ac<br>Km <sup>2</sup> | Pd<br>km | Ad<br>Km <sup>2</sup> | N  |
|------|-----------|-----------|-------------|--------------|------------|--------|-------------|-------------------------|----------|-----------------------|----------|-----------------------|----|
| N40W | ۱۵۷۴      | ۱۱۴۴      | ۳۳۵         | ۲۹۸۵         | ۹۵         | ۲۷۵۰   | ۲۶۵۵        | ۱۲۰                     | ۶        | ۱                     | ۸/۲      | ۲/۲                   | ۱  |
| N45W | ۱۷۲۵      | ۱۴۶۹      | ۲۸۵         | ۲۸۵۰         | ۲۲۵        | ۲۸۰۰   | ۲۵۷۵        | ۱۴۳/۲                   | ۷/۴      | ۱                     | ۷/۴      | ۲                     | ۲  |
| N20E | ۷۸۶       | ۲۶۵       | ۲۲۷         | ۲۹۷۷         | ۷۵         | ۲۸۲۵   | ۲۷۵۰        | ۲/۲                     | ۲/۳      | ۱/۶۷                  | ۴        | ۱/۲                   | ۳  |
| N30E | ۱۰۰۱      | ۴۷۰       | ۲۱۳         | ۲۹۹۳         | ۴۵         | ۲۸۲۵   | ۲۷۸         | ۳/۱۳                    | ۳        | ۱/۳                   | ۵        | ۱                     | ۴  |
| N45W | ۸۰۲/۵     | ۵۵۶/۵     | ۲۷۹         | ۳۱۵۴         | ۱۸۰        | ۳۰۵۰   | ۲۸۷۵        | ۱/۵                     | ۵        | ۱/۲                   | ۳/۳      | ۱                     | ۵  |
| N40W | ۱۲۹۰      | ۸۹۵       | ۱۶۰         | ۳۰۸۵         | ۶۰         | ۲۹۸۵   | ۲۹۲۵        | ۵/۶                     | ۵        | ۱/۴                   | ۴/۴      | ۱/۲                   | ۶  |
| N40W | ۱۴۷۳      | ۹۳۵       | ۵۱۱         | ۳۱۲۶         | ۱۳۵        | ۲۷۵۰   | ۲۶۱۵        | ۱۹۲/۴                   | ۷/۲      | ۱/۲                   | ۹/۴      | ۳/۲                   | ۷  |
| N30W | ۹۹۵/۵     | ۷۲۲/۵     | ۴۴۰         | ۳۱۳۰         | ۶۰         | ۲۸۵۰   | ۲۷۹۰        | ۴/۶                     | ۴        | ۱/۴۳                  | ۵        | ۱/۱                   | ۸  |
| N30E | ۱۷۷۰      | ۹۴۸/۵     | ۲۶۷         | ۳۱۱۷         | ۲۴۰        | ۲۷۹۰   | ۲۵۵۰        | ۱۱۳                     | ۶        | ۱/۷                   | ۸/۴      | ۳/۳                   | ۹  |
| N40W | ۱۲۳۴      | ۱۰۵۳      | ۲۷۰         | ۳۱۶۵         | ۱۸۰        | ۳۰۷۰   | ۲۸۹۵        | ۱۳۸/۷                   | ۷        | ۱                     | ۸/۳      | ۱/۲                   | ۱۰ |
| N45W | ۱۱۴۲      | ۷۳۵/۵     | ۱۱۱         | ۳۲۳۶         | ۱۰۵        | ۳۲۳۰   | ۳۱۲۵        | ۵/۳                     | ۴/۳      | ۱/۴                   | ۶        | ۱/۱                   | ۱۱ |
| N40W | ۱۱۲۹      | ۸۵۰/۵     | ۲۴۵         | ۲۹۲۵         | ۲۲۰        | ۲۹۷۰   | ۲۷۵۰        | ۱۲۶/۶                   | ۴/۷      | ۱                     | ۷        | ۲/۲                   | ۱۲ |
| N40W | ۷۳۴       | ۳۹۱       | ۱۳۰         | ۲۹۷۵         | ۴۰         | ۲۸۸۵   | ۲۸۴۵        | ۲/۲                     | ۲/۲      | ۱/۲                   | ۳/۱      | ۱/۲                   | ۱۳ |
| N30E | ۷۴۷       | ۴۲۰       | ۱۵۷         | ۲۷۸۲         | ۵۵         | ۲۶۸۰   | ۲۶۲۵        | ۲/۶                     | ۲/۶      | ۱/۲                   | ۳/۶      | ۱/۷                   | ۱۴ |
| N40W | ۵۳۴/۵     | ۳۰۴       | ۲۳۱         | ۲۸۳۱         | ۷۰         | ۲۶۷۰   | ۲۶۰۰        | ۸/۳                     | ۳/۲      | ۱/۱                   | ۲/۵      | ۱/۴                   | ۱۵ |
| N40W | ۱۵۴۱      | ۱۱۹۱      | ۳۳۶         | ۲۹۱۱         | ۵۵         | ۲۶۳۰   | ۲۵۷۵        | ۴۴۷                     | ۶        | ۱                     | ۸        | ۲/۱                   | ۱۶ |
| N30W | ۳۶۲۸      | ۱۹۴۱      | ۱۷۸         | ۲۹۰۳         | ۱۱۵        | ۲۸۴۰   | ۲۷۲۵        | ۱۰۲/۴                   | ۶/۵      | ۱                     | ۸        | ۱/۳                   | ۱۷ |
| N40W | ۱۵۷۴      | ۹۵۳       | ۱۳۶         | ۲۷۲۶         | ۵۰         | ۲۶۴۰   | ۲۵۹۰        | ۵                       | ۵        | ۱/۴                   | ۴/۲      | ۱/۸                   | ۱۸ |
| N30W | ۹۴۶/۵     | ۵۵۵       | ۱۷۰         | ۲۷۴۵         | ۱۱۰        | ۲۶۸۰   | ۲۵۷۵        | ۴                       | ۳/۱      | ۱/۳                   | ۵        | ۱/۹                   | ۱۹ |
| N50W | ۹۳۶       | ۶۴۰/۵     | ۳۳۳         | ۲۹۰۸         | ۱۲۵        | ۲۷۰۰   | ۲۵۷۵        | ۱۴۷/۲                   | ۶/۲      | ۱                     | ۸        | ۲/۱                   | ۲۰ |
| N60W | ۱۸۲۱      | ۹۱۸/۵     | ۳۳۸         | ۲۷۷۳         | ۷۵         | ۲۵۰۰   | ۲۴۲۵        | ۳۲۸/۷                   | ۱۱       | ۲                     | ۱۱/۲     | ۴/۱                   | ۲۱ |
| N40W | ۲۳۲۰      | ۱۶۸۹      | ۱۵۳         | ۲۹۷۳         | ۳۰         | ۲۸۵۰   | ۲۸۲۰        | ۴/۱                     | ۴/۳      | ۱/۳                   | ۵        | ۱/۸                   | ۲۲ |
| N40W | ۹۳۹/۵     | ۵۶۲/۵     | ۱۹۱         | ۲۹۱۱         | ۲۸۴        | ۲۹۶۰   | ۲۷۲۵        | ۴۰۱                     | ۱۲       | ۲/۷                   | ۱۵       | ۶/۶                   | ۲۳ |

جدول ۴- ادامه پارامترهای کمی اووالا، C, DMAXd, و DMNRd به ترتیب حداکثر قطر و حداقل قطر اووالا، ELONGc, D, نسبت کشیدگی اووالا، C, ISINd, شاخص سینوسیته اووالا، RH/Dd, شاخص نسبت سطح مقطع اووالا و IPIT حفره حفره بودن اووالا است.

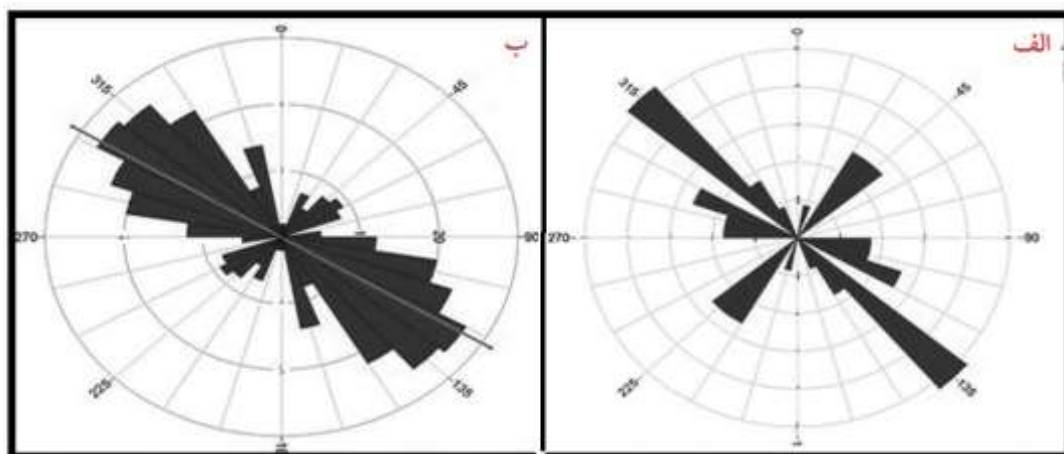
| IPIT | RH/D<br>c | RH/Dd | ISINc | ISINd | ELONGc | ELONGd | DMNRc | DMNRd | DMAXc | DMA<br>Xd | N |
|------|-----------|-------|-------|-------|--------|--------|-------|-------|-------|-----------|---|
| ۱۲/۴ | ۱/۰۸      | ۱/۲۱  | ۱/۸۸  | ۱/۹۱  | ۸/۸    | ۳/۳۹   | ۲۳۲   | ۶۹۷   | ۲۰۵۶  | ۲۳۶۸      | ۱ |
| ۱۷/۳ | ۱/۱۵      | ۱/۱۶  | ۱/۸۲  | ۱/۷۶  | ۸/۷    | ۶/۴۷   | ۳۰۹   | ۴۹۳   | ۲۶۹۳  | ۳۱۹۰      | ۲ |
| ۷/۷  | ۱/۲۸      | ۱/۲۸  | ۱     | ۱/۸۴  | ۱/۸    | ۳/۳۷   | ۲۶۷   | ۴۲۶   | ۴۹۶   | ۱۴۷۲      | ۳ |
| ۶/۶  | ۱/۰۹      | ۱/۲۱  | ۱/۴   | ۱/۹۱  | ۴/۹    | ۶      | ۱۵۸   | ۲۸۶   | ۷۸۲   | ۱۷۱۶      | ۴ |
| ۳/۳  | ۱/۳۲      | ۱/۳۴  | ۱/۶۲  | ۱/۷۸  | ۶/۸    | ۵/۵    | ۱۵۴   | ۲۴۵   | ۱۰۴۵  | ۱۳۶۰      | ۵ |
| ۴    | ۱/۰۷      | ۱/۱۲  | ۱/۳   | ۱/۹۵  | ۹/۱    | ۴/۸    | ۱۲۰   | ۳۰۶   | ۱۰۹۶  | ۱۴۸۴      | ۶ |
| ۱۰/۶ | ۱/۱۴      | ۱/۳۴  | ۱/۱   | ۱/۳   | ۸/۳    | ۴/۸    | ۱۹۸   | ۵۰۶   | ۱۶۵۲  | ۲۴۴۰      | ۷ |
| ۳    | ۱/۰۸      | ۱/۴۴  | ۱/۶۵  | ۱/۹۹  | ۳/۲    | ۶      | ۴۴۹   | ۲۵۴   | ۹۹۵   | ۱۵۴۲      | ۸ |

ادامه جدول ۴- ادامه پارامترهای کمی اووالا، C، DMAXd و DMNRd به ترتیب حداکثر قطر و حداقل قطر اووالا، ELONGc، D نسبت کشیدگی اووالا، C، ISINd شاخص سینوسیته اووالا، RH/Dd شاخص نسبت سطح مقطع اووالا و IPIT حفره حفره بودن اووالا است.

| IPIT | RH/Dc | RH/Dd | ISINc | ISINd | ELONGc | ELONGd | DMNRc | DMNRd | DMAXc | DMAXd | N  |
|------|-------|-------|-------|-------|--------|--------|-------|-------|-------|-------|----|
| ۲۰/۷ | /۲۵   | /۱۵   | ۱/۱۷  | /۹۱   | ۹/۶    | ۴/۶    | ۱۷۸   | ۶۲۴   | ۱۷۱۹  | ۲۹۱۷  | ۹  |
| ۵/۸  | /۱۷   | /۲۱   | ۱/۱۴  | ۱/۰۸  | ۸/۸    | ۳/۸    | ۲۱۴   | ۵۸۵   | ۱۸۹۳  | ۲۲۲۷  | ۱۰ |
| ۶/۳  | /۱۴   | /۰۹   | /۸۴   | /۹۷   | ۴/۲    | ۵/۷    | ۲۸۱   | ۳۴۰   | ۱۱۹۰  | ۱۹۴۵  | ۱۱ |
| ۷/۹  | /۲۶   | /۲۱   | ۱/۱۱  | ۱/۰۵  | ۲/۱    | ۳/۱۷   | ۵۴۳   | ۶۶۲   | ۱۱۵۸  | ۲۰۹۹  | ۱۲ |
| ۷/۳  | /۱    | /۱۷   | ۱/۰۴  | /۸۹   | ۵/۱    | ۳/۶    | ۱۲۷   | ۳۱۹   | ۶۵۵   | ۱۱۴۹  | ۱۳ |
| ۹/۴  | /۱۳   | /۲۱   | ۱/۹   | /۸۵   | ۵      | ۸/۸    | ۱۳۹   | ۱۵۲   | ۷۰۱   | ۱۳۴۲  | ۱۴ |
| ۸/۱  | /۲۳   | /۴۳   | ۱/۰۴  | /۹۶   | ۵/۳    | ۴/۷    | ۷۳    | ۱۸۷   | ۵۳۵   | ۸۸۲   | ۱۵ |
| ۴/۲  | /۰۵   | /۲۱   | /۹۳   | /۹۱   | ۴/۴    | ۳/۱۶   | ۴۲۵   | ۹۵۵   | ۱۸۹۴  | ۳۰۲۰  | ۱۶ |
| ۵/۵  | /۰۶   | /۰۴   | ۱/۱   | /۹۱   | ۴/۵    | ۴/۷    | ۳۲۸   | ۶۱۱   | ۱۵۰۱  | ۲۸۸۳  | ۱۷ |
| ۸/۳  | /۱۲   | /۰۸   | ۱/۱۷  | /۸۵   | ۵/۱    | ۵/۸    | ۱۶۵   | ۲۸۹   | ۸۴۳   | ۱۶۷۸  | ۱۸ |
| ۱۱/۴ | /۲    | /۱۸   | ۱/۱۳  | /۸۸   | ۶/۱    | ۷/۳    | ۱۴۴   | ۲۲۶   | ۸۸۴   | ۱۶۶۷  | ۱۹ |
| ۶/۹  | /۲    | /۳۵   | ۱/۲   | ۱/۰۴  | ۹/۵    | ۴/۶    | ۱۲۱   | ۳۳۳   | ۱۱۶۰  | ۱۵۳۹  | ۲۰ |
| ۱۳/۶ | /۰۸   | /۱۸   | /۹    | /۷۹   | ۷/۶    | ۶/۲    | ۲۱۳   | ۵۰۴   | ۱۶۲۴  | ۳۱۳۸  | ۲۱ |
| ۱۲/۱ | /۰۲   | /۰۶   | /۸۱   | /۸۶   | ۲/۸۵   | ۳/۰۸   | ۳۲۸   | ۵۰۹   | ۹۳۵   | ۱۵۷۱  | ۲۲ |
| ۴/۷  | /۵    | /۲    | ۱/۱۴  | /۸۳   | ۹/۹    | ۴/۷۷   | ۳۴۵   | ۱۲۵۹  | ۳۴۴۱  | ۶۰۱۱  | ۲۳ |

### یافته‌ها و بحث

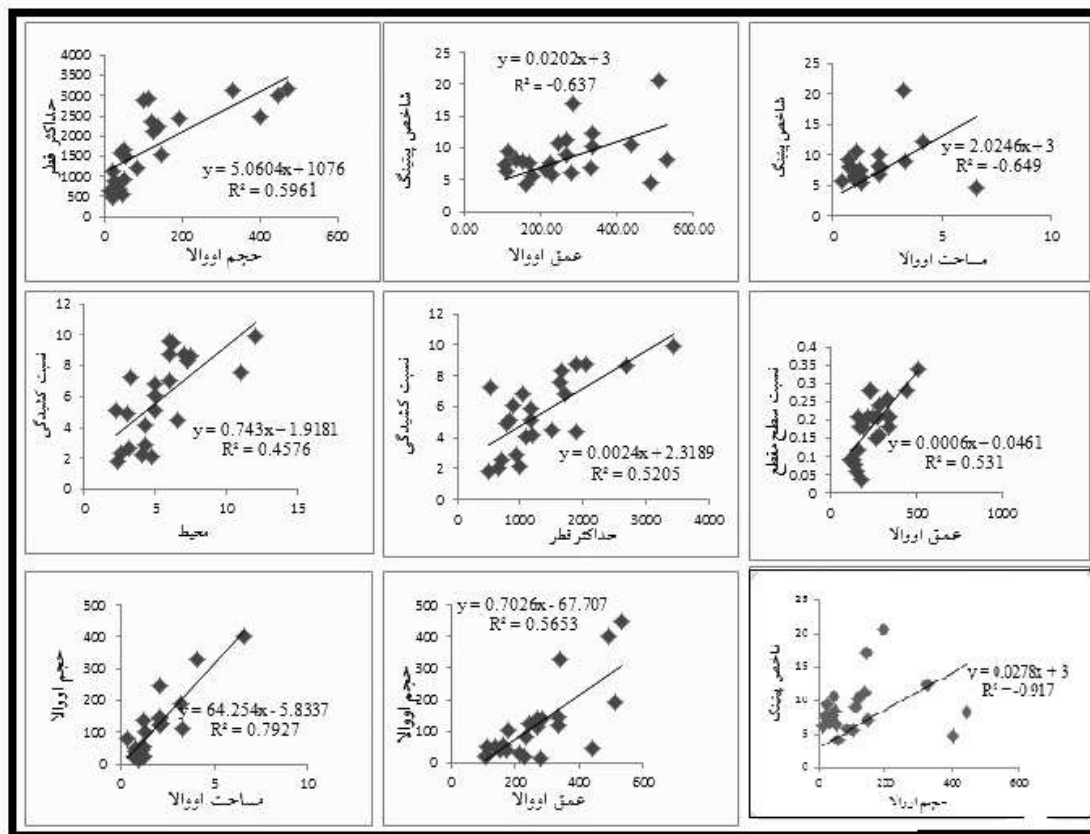
پارامترهای موثر در شکل‌گیری اووالا در قالب عوامل اصلی زمین‌شناسی، تکتونیک، هیدرولوژی، مورفولوژی بستر اووالا، بررسی شد. عامل مساعد لیتولوژیک یعنی گسترش سازند آهکی بیستون که اصلی‌ترین واحد زمین‌شناسی در منطقه است. همراه با عوامل زمینه‌سازی مانند تعدد شکستگی‌ها، اعم از گسل‌های طویل در کنار درزو شکاف‌های تکتونیک، همچنین مساعدت شرایط اقلیمی مانند بارش مناسب به توسعه و تکامل هرچه بیشتر فرم‌های کارستی در منطقه منجر گردیده است. از مهم‌ترین اشکال در توده پراو بیستون اووالا است که از نظر مورفولوژی و شکل‌گیری از اشکال سطحی دیگر قابل تمایز است. از مهم‌ترین شاخص‌های تفکیک اشکال سطحی کارست، ویژگی‌های مورفومتری است. با هدف مطالعه تاثیر تکتونیک و بررسی تبعیت جهت‌گیری اووالا از وضعیت زمین ساختاری منطقه جهت کشیدگی اصلی اووالا در محدوده مطالعاتی تعیین شد. با مقایسه نتایج حاصل در (جدول ۳) و رز دیاگرام ۲۰۰ گسل و شکستگی اصلی در محدوده پراو-بیستون (شکل ۵) مشاهده شد که از تعداد ۲۳ اووالا ۱۹ اووالا دارای کشیدگی اصلی (آزیموت) در جهت اصلی شکستگی‌های پراو-بیستون هستند و تنها در چهار مورد جهت‌گیری متفاوت است (شکل ۵).



شکل ۵: الف و ب، امتداد یکسان جهت گیری اووالا و شکستگی های پراو- بیستون و تبعیت از روند اصلی شکستگی زاگرس.

از شاخص های مهم در بازتاب وضعیت توپوگرافی، شاخص نسبت کشیدگی است که در هر دو تقسیم بندی برای ۲۳ اووالای شناسایی شده در بیستون محاسبه شد (جدول ۳). نتایج تحلیل رگرسیونی در رابطه با چند شاخص مورفومتری و همبستگی بین آنها بسیار اهمیت دارد (شکل ۶). از جمله این که بیشترین همبستگی به شکل معکوس بین مساحت اووالا و شاخص پیتینگ وجود دارد. به عبارتی هرچه مساحت اووالا کم تر باشد در بیش تر موارد شاخص پیتینگ (حفره حفره) بیش تر است (شکل ۶). اووالای شماره ۵، ۶، ۸ و ۴ به رغم مساحت کم تر چاله های بیش تری در بستر آنها شکل گرفته (جدول ۳ و ۴) و بر عکس اووالای شماره ۹، ۷ و ۲ به رغم مساحت بیش تر، بستری به مراتب هموار دارند. همان طور که در اووالاهای شماره ۹ و ۲۱ دیده می شود، به رغم عمق بیش تر و حجم بیش تر، بستر اووالا هموارتر است (جدول ۳ و ۴). این امر می تواند ناشی از عملکرد جریان ها و تاثیر توام انحلال و شستشو در بستر اووالا و گسترش شبکه زیرسطحی در این دسته از اووالاها باشد. بین حجم اووالا و مساحت اووالا رابطه مستقیم وجود دارد (شکل ۶)؛ یعنی با افزایش مساحت، حجم اووالا نیز افزایش می یابد. از مهم ترین نتایج تحلیل رگرسیونی رابطه بین شاخص نسبت کشیدگی اووالا و حداکثر قطر اووالا است. هرچه قطر بزرگ اووالا طولانی تر باشد، نسبت کشیدگی بیش تر است. این امر به خوبی در ارتباط با اووالای شماره ۲۳، ۲۱ و ۱۷ قابل مشاهده است. از موارد مهم در ارتباط با تاثیر عوامل توپوگرافی، توجه به توزیع ارتفاعی اووالا (جدول ۵) در محدوده مورد مطالعه است. در این محدوده تمام اووالاها در ارتفاعی بیش تر ۲۰۰۰ متر استقرار یافته و حداکثر تراکم اووالاها در ارتفاع ۲۶۰۰ تا ۳۰۰۰ است (جدول ۳). فرآیندهای کارستی هنوز در زاگرس شکسته برخلاف زاگرس چین خورده که ارتفاع کم تری دارد در ارتفاع بالاتر از ۲۵۰۰ متری به شدت اثرگذار هستند. شاهد این ادعا، توسعه اووالا با فراوانی بیش تر در مقایسه با سطوح ارتفاعی پایین تر در توده پراو-بیستون است. عامل ژئومورفولوژی اثرگذار در شکل گیری اووالا عامل شیب است. مطابق با (جدول ۵) ۷۴ درصد مساحت اووالا در محدوده مورد مطالعه شیبی بین ۰ تا ۲ درصد دارند. در شیب بالاتر از ۱۴ درصد هیچ سطحی از اووالا شکل نگرفته است. این امر نشان می دهد که در شیب های کم به دلیل استمرار فرآیندهای انحلال، امکان شکل گیری و توسعه اووالا بسیار بیش تر

از شیب‌های تند است. لیتولوژی بر شکل‌گیری و توسعه اشکال سطحی کارست نقش مهمی دارد در پراو-بیستون گستردگی و مساعدت آهک توده‌ای بیستون سبب شده ۹۵ درصد از مساحت اووالا در این سازند شکل گرفته باشد. تنها بخش ناچیزی از مساحت اووالا در سازند دولومیتی قرار دارد (جدول ۵).



شکل ۶: نتایج تحلیل رگرسیونی برخی پارامترهای کمی مربوط به اووالا

جدول ۵- توزیع کمی عوامل موثر در شکل‌گیری اووالا بر اساس مساحت هریک از عوامل

| لیتولوژی   | مساحت km <sup>2</sup> | شیب درصد | مساحت km <sup>2</sup> | فاصله از گسل متر | مساحت km <sup>2</sup> | ارتفاع متر | مساحت km <sup>2</sup> | بارش میلی متر | مساحت km <sup>2</sup> |
|------------|-----------------------|----------|-----------------------|------------------|-----------------------|------------|-----------------------|---------------|-----------------------|
| آهک بیستون | ۳۹/۵                  | ۰-۲      | ۳۱/۵                  | ۲۵۰-۰            | ۲۳/۹                  | ۲۰۰۰-۲۲۰۰  | ۷                     | ۷۴۰-۷۰۰       | ۴                     |
| دولومیت    | ۲/۴                   | ۲-۵      | ۷/۱                   | ۵۰۰-۲۵۰          | ۸                     | ۲۲۰۰-۲۴۰۰  | ۷/۳                   | ۷۸۰-۷۴۰       | ۶                     |
|            |                       | ۵-۷      | ۲/۱                   | ۱۰۰۰-۵۰۰         | ۸/۸                   | ۲۴۰۰-۲۶۰۰  | ۶/۱                   | ۸۲۰-۷۸۰       | ۶,۵                   |
|            |                       | ۷-۱۴     | ۱/۲                   | ۱۵۰۰-۱۰۰۰        | ۱/۲                   | ۲۶۰۰-۲۸۰۰  | ۸/۲                   | ۸۶۰-۸۲۰       | ۶,۴                   |
|            |                       | ۱۴<      | -                     | ۱۵۰۰<            | ۰                     | ۲۸۰۰-۳۰۰۰  | ۹                     | ۹۰۰-۸۶۰       | ۸                     |
|            |                       |          |                       |                  |                       | ۳۰۰۰-۳۲۰۰  | ۴/۳                   | ۹۲۰-۹۰۰       | ۱۱                    |
|            | ۴۱/۹                  |          | ۴۱/۹                  |                  | ۴۱/۹                  |            | ۴۱/۹                  |               | ۴۱,۹                  |

## نتیجه گیری

از جمله عوامل موثر در مطالعات کارست، شناسایی و محاسبه پارامترهای مورفومتری این اشکال است. در محدوده کارستی پراو-بیستون اشکال متعدد کارست در بستر لیتولوژی کربناته و با تاثیر عمیق تکتونیک شکل گرفته است، از جمله این اشکال اووالا است. مهم ترین پارامترهای کمی در تفکیک اووالا از دولین و به خصوص پولزه فاکتورهای کمی و مورفومتریک هستند. در این پژوهش با استفاده از شاخص های پیشنهادی (Calic (2011) و Bondesan (1992) (جدول ۲) به شناسایی و تعیین محدوده این اشکال سطحی کارست اقدام شد. دو تقسیم بندی برای شناسایی اووالا و محاسبه پارامترهای مورفومتری پیشنهاد شده است. از دو تقسیم بندی (مرز توپوگرافی یا خط تقسیم آب و منحنی های میزان)، داده های تقسیم بندی بر اساس مرز توپوگرافی اعتبار بیشتری دارد. کار تحلیل آماری روی پارامترها بر مبنای این تقسیم بندی صورت گرفته است. از میان پارامترهای بررسی شده، شاخص های نسبت کشیدگی، شاخص پیتینگ، سینوسیته و نسبت سطح مقطع اهمیت زیادی در تقسیم بندی اووالا دارد. بر اساس شاخص نسبت کشیدگی و همچنین محاسبه آزیموت اووالا، حدود ۸۳ درصد اووالاها، دارای کشیدگی در امتداد شکستگی های اصلی زاگرس هستند. همچنین ۹۵ درصد اووالاها در فاصله کم تر از ۱۰۰۰ متری گسل و ۵۷ درصد در فاصله ۰ تا ۲۵۰ متری گسل تشکیل شده اند (جدول ۵). این امر نشان دهنده تفاوت منشاء اووالا با اشکالی مانند پولیه است که بیش تر ناشی از عملکرد انحلالی و نیز رسوب گذاری در کارست سطحی هستند. وجود لیتولوژی یکسان (سازند آهکی بیستون) نقش برجسته عامل تکتونیک و شکستگی های را در توسعه اووالا در توده پراو-بیستون نشان می دهد.

حفره حفره دار بودن بستر اووالا از جمله مشخصات اصلی و تفاوت آن با پولزه است. تکتونیک فعال، گسترش شبکه های درونزا، میراث اقلیمی و فرآیندهای فعال انحلال به توسعه چاله ها در بستر اووالا منجر شده و در مواردی مانند اووالاهای شماره ۵ و ۸، شاخص پیتینگ حتی به عدد ۳ می رسد و در ۱۶ مورد از ۲۳ اووالای شناسایی شده، مقدار این شاخص کم تر از ۱۰ است (جدول ۴) که حاکی از بستری حفره حفره است.

انحراف شکل اووالا از حالت مدور و سینوسی بودن ناشی از عملکرد تکتونیک است. این شاخص در اووالای شماره ۲، ۳، ۵، ۷، ۱۴، ۲۱، ۲۲ و ۲۳ از مقدار مطلوب یعنی عدد ۱ فاصله زیادی دارد.

هرچه سطح مقطع اووالا به مقدار ۰/۱۵ نزدیک تر باشد مقارن است و ضرایب بیش تر و کم تر اووالا از حالت تقارن خارج است (Bondesan, 1992: 36). در ۱۷ اووالا، این شاخص با ضریب متوسط ۰/۱۵ فاصله و در مورد اووالای شماره ۸ و ۱۵ بیش تر از ۰/۴۰ و در اووالای شماره ۱۱، ۱۷ و ۲۲ به کم تر از ۰/۱۰ می رسد. این امر بیانگر تاثیر تکتونیک بر شکل گیری و توسعه اووالا در بیستون-پراو است.

۷۴ درصد اووالاها در محدوده مورد مطالعه شیبی بین ۰ تا ۲ درصد دارند. در شیب بالاتر از ۱۴ درصد هیچ سطحی از اووالا شکل نگرفته است. این امر نشان می دهد که در شیب های کم به دلیل استمرار فرآیندهای انحلال، امکان شکل گیری و توسعه اووالا بسیار بیش تر از شیب های تند است.

با توجه به نتایج حاصل از روابط کمی، رگرسیون خطی و توزیع کمی عوامل موثر در تشکیل اووالا، مهم‌ترین عامل در کنترل توسعه اووالا، میراث تکتونیک در زاگرس مرتفع و عوامل ژئومورفولوژیک مانند ارتفاع و شیب است.

## References

- Angel, J. C., Nelson, D. O., Panno, S. V., (2004), "Comparison of a new GIS-based technique and a manual method for determining Sinkhole density: an example from Illinois Sinkhole Plain, *Journal of Cave and karst Studies*, 66 (1): 9-17
- Bondesan, A., Meneghel, M., Sauro, U., (1992), "Morphometric analysis of Dolins, international", *Journal of Speleology*, 21: 1-55.
- Calic, J., (2011), "Karstic Uvala revisited: Toward a redefinition of the term", *Geomorphology*, 134: 32-34.
- Calic, J., (2009), "*Uvala contribution to the study of Karst depressions (with selected examples from Dinarides and Carpatho-Balkanides)*", University of Nova Gorica: Graduate School. Nova Gorica.
- Cvijic, J., (1893), "Das Karstphänomen. Versuch einer morphologischen monographie. In: Penck, A., (Ed.), *Geographische Abhandlungen*, 3: 1-114.
- Denizman, Can., (2003), "Morphometric and spatial distribution parameters of Karstic depressions, Lower Suwannee river Basin, Florida", *Jornal of Cave and Karst Studies*, 65 (1): 29-35.
- Fairbridge, R.W., (1968), "The encyclopedia of geomorphology (encyclopedia of earth sciences series). Stroudsburg, Dowden : Hutchinson & Ross: Stroudsburg, Pennsylvania.
- Ford, D., Williams, P., (2007), "*Karst hydrogeology and geomorphology*", John Wiley & Sons, Ltd: London.
- Frelih, M., (2003), "Geomorphology of karst depressions: Polje or Uvala-a case study of Lucki Dol", *Acta Carsologica*, 32 (2): 105-119.
- Gams, I., (1973), "Slovenska kraska terminologija (Slovene karst terminology)", *Kraska terminologija jugoslovanskih narodov*, knjiga 1, Ljubljana.
- Gams, I., (2000), "Doline morphogenetic processes from global and local viewpoints", *Acta Carsologica*, 29 (2): 123-138.
- Gilli, E., (2011), "Karstology karsts, caves and springs elements of fundamental and applied karstology, Paris: CRC Press.
- Goudie, A., Atkinson, B. W., Gregory, K. J., Simmons, I. G., Stoddart, D. R., Sugden, D., (1994), *The encyclopedic dictionary of physical geography*, Second Edition. Blackwell Publishers, Oxford.
- Jafar Beyglou, M., Moghimi, E., Safari, F., (2011), "Evaluating morphotectonic karst sinks in Parav Bistoun mass using DEM", *Geography Magazine and Environmental Planning*, 22 (4): 18-1. [in Persian].
- Khosh Akhlag, F., Sajjad Bagheri, S, S., Safarad, T., (2014), "The analysis of severe droughts influences on karst springs discharge in kermanshah province case study: severe drought of year 1386-1387", *Journal of Geographical Space*, 48 (14): 1-19. [in Persian].
- Khosh Raftar, R., Sorour, J., Mojtahedi. N., (2016), "Survey Karstic forms in the mountainous masses of Dorfak- Gilan", *Journal of Geographic Space*. 56 (16): 39-56. [ in Persian].
- Launspach, J., (2013), "*Automated sinkhole extraction and morphological analysis in Northeast Iowa using high-resolution LiDAR data*, University of Northern Iowa, Graduate.
- Iguzquiza, E. P., Valsero, D. J., Galiano, R. V., (2011), "Morphometric analysis of three-dimensional networks of karst conduits", *Geomorphology*, 132: 17- 28.

- Iguzquiza, E. P., Duran, J. J., Dowd, P. A., (2013), "Automatic detection and delineation of karst terrain Depressions and its application in geomorphological mapping and morphometric analysis", *Acta Carsologica*, 42 (1): 17- 24.
- Nicod, J., (2003), "A little contribution to the karst terminology: Special or Aberrant cases of Poljes"?, *Acta Carsologica*, 32 (3): 29-39.
- Parise, M., (2011), "Surface and subsurface karst geomorphology in the Murge (Apulia, Southern Italy)", *Acta Carsologica*, 40 (1): 79-93.
- Pazzaglia, F. J., (2003), "*Landscape evolution models In: Gillespie*", A. R., Porter, S. C., Atwater, B. F., (Eds.), *The Quaternary Period in the United States*. Amsterdam: Elsevier. pp 247-274.
- Pulina, M., (1999), "Kras. Formy i procesy", *Wydawnictwo Uniwersytetu Śląskiego*, Katowice.
- Rezaei moghadam, M. H., Qadri, Mohammad, R., (2011), "Quantitative analysis of Dolins in karst lands Case study: Takht Solaiman area", *Geography and Planning*, 16 (35): 1-16. [in Persian].
- Rezaei moghadam, M., Mohammad, R., Moeid, M., (2010), "Survey of Dolins in Takht-e Soleyman area by cluster analysis", *Spatial Planning and Approach*, 14 (4): 191-214. [in Persian].
- Salomon, J. N., (2000), "*Precis de Karstologie*", Presses Universitaires de Bordeaux: Pessac, 250 p.
- Sauro, U., Ferrarese, F., Francese, R., Miola, A., Mozzi, P., Rondo, G, Q., Trombino, L., Valentini, G., (2009), "Doline fills-Case study of the faverghera plateau (Venetain pre-Alps, Italy)", *Acta Carsologica*, 38(1): 51- 63.
- Sauro, U., (2013), "Landforms of mountainous Karst in the middle latitudes: Reflections, trends and research problems", *Acta Carsologica*, 42 (1): 5 - 16.
- Santo, A., Ascione, A., Prete, S. D., Crescenzo, G. D., Santangelo, N., (2011), "Collapse Sinkholes distribution in the carbonate massifs of central and Southern apennines", *Acta Carsologica*, 40 (1): 95-112.
- Servati, M. R., Rostami, M., Nosrati, K., Ahmadi, M., (2014), "Recognition the factors affecting the distribution and occurrence of Sinkholes in the region of Kermanshah Gazorkhani by using logistic regression", *Geography and Development*, 36: 194-181.
- Stepisnik, U., Mihevc, A., (2008), "Investigation of structure of various surface karst formations Limestone and Dolomite bedrock with application of the electrical resistivity imaging", *Acta Carsologica*, 37 (1): 133- 140.
- Sweeting, M. M., (1972), "*Karst landforms*", London: MacMillan, 362 p.
- Telbisz, T., Dragusica, H., Nagy, B., (2009), "Doline morphometric analysis and Karst morphology of Biokovo Mt (Croatia) based on field observations and digital terrain analysis", *Hrvatski geografski glasnik*, 71 (2): 5-22 .
- Valois, R., Camerlynck, C., Dhemaied, A., Guerin, R., Hovhannissian, G., Plagnes, V., Rejiba, F., Robain, H., (2011), Assessment of Doline geometry using geophysics on the Quercy plateau karst (South France), *Earth Surface Processes and Landform*, 36: 1183-1192.
- White, W. B., (1988), "*Geomorphology and hydrology of Karst terrains*", Oxford University Press; New York, Oxford.
- Zhu, J., Taylor, T. P., Currens, J. C., Crawford, M. M., (2014), "Improved Karst Sinkhole mapping in Kentucky using Lidar techniques: a pilot study in Floyds Fork Watershed", *Journal of Cave and Karst Studies*, 76 (3): 207- 216.